

# V-30 R.C. 柱の粘弾塑性解析(その1)

宮崎大学工学部 正員・藤瀬 勉  
宮崎大学工学部 正員 太田 俊郎

1. まえがき　周知のごとく、鉄筋コンクリート柱の非線形特性に関する研究は数多く、柱の破壊に関するものとしては Lint,<sup>1)</sup> Leonhardt,<sup>2)</sup> Kani<sup>3)</sup> および Fenwick<sup>4)</sup>などが挙げられる。しかしながら鉄筋コンクリート柱の挙動が、鉄筋とコンクリートの量的組み合せに加えて、弾性と塑性の程度、さらには、コンクリートの粘性現象および亀裂効果なども複雑微妙に関連するため、その厳密な解析は難しく、今日のところ上述の諸要素をすべて網羅した一般理論解析は、未だ完成されていない。

本論文は、その基礎段階として、R.C.柱の粘弾塑性理論解析を提示したもので、まず、コンクリートの粘弾塑性を考慮した応力～ひずみ曲線式を理論的に誘導し、その諸定数を実験的に求め、つづいてこれを基にして任意の応力状態に一貫して適用可能な、曲げモーメントと曲率の算定式を導き、そのプログラムを作製し Computer を用いて、過大荷重を受けた、鉄筋コンクリート片持柱あるいは単純柱の亀裂を伴う破壊挙動を自動的に追跡解明しようと試みたものである。

2. コンクリートの応力～ひずみ曲線の特性　一般に、コンクリートの圧縮ひずみとは、圧縮応力  $\sigma$  の指數関数  $\epsilon = A\sigma^m$  ( $A$ : 定数) で表わされ、しかも  $A$  や  $m$  の値は応力の範囲では、一定値となるので、これを両対数グラフで表示すれば図-1のごとき折線となる。明らかに屈折点が特性の変化点と考えられるゆえ、ここでは図-1の OA 部、AB 部、BC 部をそれぞれ弾性、弾塑性および塑性領域と呼び、それらのヤング率  $E$ 、 $\mu E$  および  $\mu_2 E$  と設定する。

3. 応力～ひずみ曲線式　一般にコンクリート柱質の特性は、弾性、塑性および粘性の 3 要素で構成されたと考えられ、弾性、弾塑性および塑性に起因する応力～ひずみは式(1)の(i)式で粘性に起因するそれは Whitney の法則より式(1)の(ii)式で表すことができる。

$$\sigma = \mu E \epsilon \quad \text{(i)} \quad \sigma = 1/\sqrt{\frac{dt}{dt}} \quad \text{(ii)}$$

(ただし  $\mu$ : 粘性率,  $\lambda$ : 粘性係数,  $t$ : 時間)

一方、実験的に初期弾性領域では弾性と粘性が、その他の領域では弾性と塑性および粘性が支配的であるとか推定されるので、各領域ではこれらを組み合せて応力～ひずみ曲線式を誘導する。そこでコンクリートの柱質を図-2 に示すようにバネ定数  $\mu E$  のスプリングの部分とダッシュポットの部分とよりなる 1 種の Maxwell 要素型の力学的モデルで表わせば、バネに生ずるひずみ  $\epsilon_1$  およびダッシュポットに生ずるひずみ  $\epsilon_2$  はそれぞれ式(3)より

$$\epsilon_1 = \frac{\sigma}{\mu E} \quad \text{(3)} \quad \epsilon_2 = \int \mu \tau dt \quad \text{(4)}$$

明らかに全ひずみ  $\epsilon$  は  $\epsilon_1$  と  $\epsilon_2$  の和で与えられるゆえ結局次式となる。

$$\epsilon = \epsilon_1 + \epsilon_2 = \frac{\sigma}{\mu E} + \int \mu \tau dt \quad \text{(4)}$$

ここで  $\bar{\epsilon}$ 、 $\bar{\sigma} = \mu E \epsilon$  として上式を変形すれば

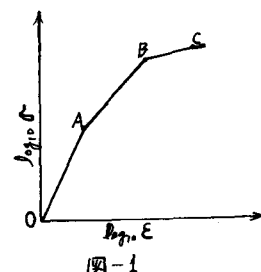


図-1

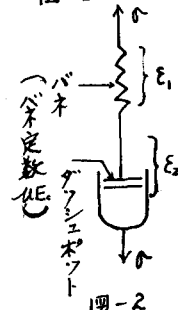


図-2

式(5)式を解き、結果を演算可能な式形に改めれば結局次式がえられ。

$$(ii) \text{ 他の領域の応力} \quad \bar{\sigma}_i = \bar{E}(1 - \frac{\bar{x}}{2})\varepsilon_i + \{ \bar{\sigma}_{i-1} - \bar{E}\varepsilon_{i-1}(1 + \frac{\bar{x}}{2}) \} e^{-\bar{x}} \quad \dots \dots \dots \quad (7)$$

( $E = E_0 e^{-\nu t_0}$ ,  $\bar{E} = \bar{E}_0 e^{-\nu t_0}$ ,  $\bar{E} = ME$ ,  $\Omega_i, \varepsilon_i$ :時刻*i*の応力とひずみ,  $t_0$ :時間間隔)

式(4),(7)の $\alpha, \beta$ 値は、実測値を用いて最小自乗法より次の式で定められる。<sup>20)</sup>

$$x = \frac{E_n - E_0}{E_0} \quad (8)$$

$$\left\{ \frac{E_n}{2} + E_{n-1} e^{-\alpha x} + E_{n-2} e^{-2\alpha x} + \dots + E_1 e^{-(n-1)\alpha x} \right\}$$

$$(E_i E_{i+1} \dots E_j) = E_i - E_{i-1}, \quad \beta_i = E_i(E_i - E_{i-1}) - E_{i-1}(\alpha_i)$$

以上の諸式を用いて  $\bar{\sigma} = 247, 340 \text{ kg/cm}^2$  の応力～ひずみ曲線図を求め、実験結果と比較すれば図-3のとおりである。

3. 曲率およびモーメントの算定 前節の考察結果より時刻  $t$  のコンクリートの応力～ひずみ曲線は、一般に次のように表わされる。

(ただし  $\nu_c(t)$ : コンクリートのヤング率,  $f_c(E(t))$ : 補正係数)

一方、鉄筋の応力～ひずみ曲線は文献より

(ただし  $V_s(t)$ : 鋼筋の変形率,  $f_s(\varepsilon_{cr})$ : 补正係数)

断面に働くモーメントを  $M(t)$  とすれば、平衡条件式より次の式が成立する。

(ただし  $A_0$ :断面積,  $y$ :下縁よりの距離,  $y_0$ :鉄筋の位置を表す)

二二二中立軸の位置をもつてとすれば、曲率半径を用いてひずみをもつてか次のようになされ。

式(12)に式(10), (11)および $\mu$ (13)を代入して整理すれば

$$M(t) = -\phi(t) \xi(t) \int_A V_j(t) y dA_0 + \phi(t) \int_A V_j(t) y^3 dA_0 - \frac{\varepsilon}{j} \int_A f_j(\varepsilon(t)) y dA_0 - (14)$$

$$0 = -\phi(t) \xi(t) \int_{A_0} V_j(t) dA_0 + \phi(t) \xi \int_{A_0} V_j(t) y dA_0 - \xi \int_{A_0} f_j(\varepsilon(t)) dA_0 - U \xi$$

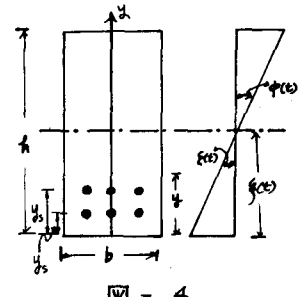
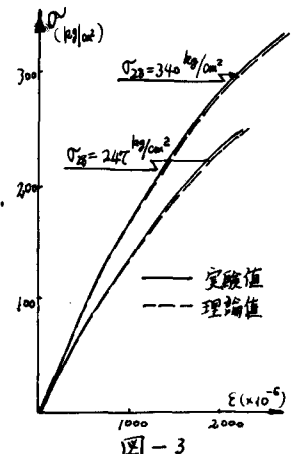
(ただし、jはcあるいはsでそれぞれコンクリートおよび鉄筋を意味する)

式(14), (15)より  $\phi(t)$ ,  $\xi(t)$  を消去してうえで  $\psi(t)$  を求めれば次のようになられる。

$$\frac{-\sum_j A_{0j} V_j(t) y dA_0}{\sum_j \int_{A_0} V_j(t) dA_0} = \left\{ \phi(t) \sum_j \int_{A_0} V_j(t) y dA_0 - \sum_j f_j(\mathcal{E}(t)) dA_0 \right\} \\ + \phi(t) \sum_j \int_{A_0} V_j(t) y^2 dA_0 - \sum_j \int_{A_0} f_j(\mathcal{E}(t)) y dA_0 = M(t)$$

よって所要の曲率算定式は次式で求められる。

$$\phi(t) = \frac{M(t) + \sum_j f_{A_0} f_j(E(t)) \mathbb{E}[dA_0] - w h \sum_j f_{A_0} f_j(E(t)) dA_0}{\sum_j f_{A_0} V_j(t) \mathbb{E}[dA_0] - w h \sum_j f_{A_0} V_j(t) \mathbb{E}[dA_0]} \quad (16)$$



$$(F=F^*V \quad w = \frac{1}{\pi} \int_A V_j(t) dA_0 / h \int_A V_0(t) dA_0)$$

4. R.C.析の解析　いま曲げモーメント  $M(t)$  を受けたR.C.析について考察する。すなわち文献(6)によれば、 $t$  時間に貯えられた補正エネルギーは次式で与えられる。

いま、横に働く一般力を  $F(t)$  とし、それに応応する変形成分を  $U(t)$  とすれば、Complementary Minimum principle より次式が成立す。

$$U(t) = \frac{\partial C(t)}{\partial F(t)} = \frac{\partial C(t)}{\partial M(t)} \cdot \frac{\partial M(t)}{\partial F(t)} = f_s \phi(t) \cdot \frac{\partial M(t)}{\partial F(t)} \cdot ds \quad \dots \quad (18)$$

一方、荷の作用点の曲げモーメント  $M(t)$  は外力  $P_i(t)$  ( $i=1, 2, \dots$ ) によって一般に次のように示される。

式(18)にあたって、 $F(t) = P_0(t)$ とし、式(49)を用いれば、変形成分  $U_i(t)$ が次のようになります。

上記の諸導論式を用ひれば、R.C桁の荷重ならびに変形の解析が可能となる。すなはち荷重  $P_i(t)$  による曲げモーメントが式(19)で、これに対応する曲率が式(16)とそれそれをもとに、式(20)より所要の変形を決定することができます。図-6および図-7は、これらを用いてR.C单纯桁について解析した結果を示したものである。

5. 評議 本研究によつて、純曲げを受けるR.C柱の粘弾塑性解析理論が確立されたが、本法によれば曲げと軸力を受ける一般的載荷条件に対する式(46)の式形をえらびただけで、全く同一手法によつて取り扱いができる。したがつてP.S.コンクリート柱の粘弾塑性解析も可能となる。これについては後日報告する予定である。

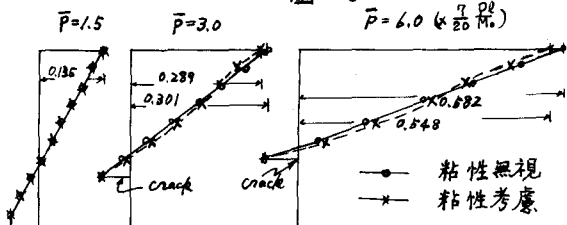
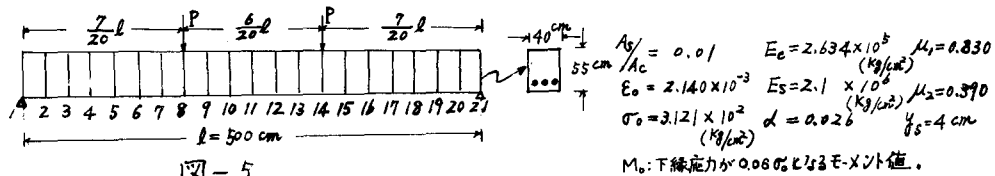


図-6 応力分布図

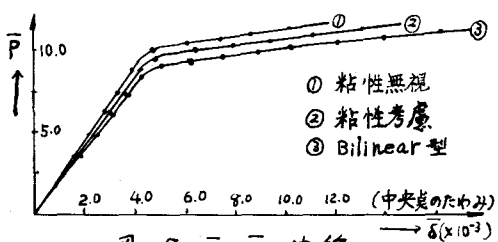


圖-7  $\bar{P}-\bar{\sigma}$  曲線

### (参考文献)

- ① Lint: Jour. of the A.C.I. June 1955  
 ② Leonhardt: Beton und stahlbetonbau. Februar 1962  
 ③ Kani: Jour. of the A.C.I. April 1964  
 ④ Fenwick: proc. of the ASCE, Oct. 1968  
 ⑤ 太田藤嶺集: 土木学会西部支部研究發表論文集 S45.2.25  
 ⑥ 太田藤嶺 四能子: " " "